

(12) 特許協力条約に基づいて公開された国際出願

(19) 世界知的所有権機関
国際事務局



(43) 国際公開日
2010年6月3日(03.06.2010)

PCT

(10) 国際公開番号
WO 2010/061951 A1

- (51) 国際特許分類:
G09C 1/00 (2006.01)
- (21) 国際出願番号: PCT/JP2009/070127
- (22) 国際出願日: 2009年11月30日(30.11.2009)
- (25) 国際出願の言語: 日本語
- (26) 国際公開の言語: 日本語
- (30) 優先権データ:
特願 2008-305121 2008年11月28日(28.11.2008) JP
- (71) 出願人 (米国を除く全ての指定国について): 国立大学法人岡山大学(NATIONAL UNIVERSITY CORPORATION OKAYAMA UNIVERSITY) [JP/JP]; 〒7008530 岡山県岡山市北区津島中一丁目1番1号 Okayama (JP).
- (72) 発明者; および
- (75) 発明者/出願人 (米国についてのみ): 野上 保之(NOGAMI, Yasuyuki) [JP/JP]; 〒7008530 岡山県岡山市北区津島中三丁目1番1号 国立大学法

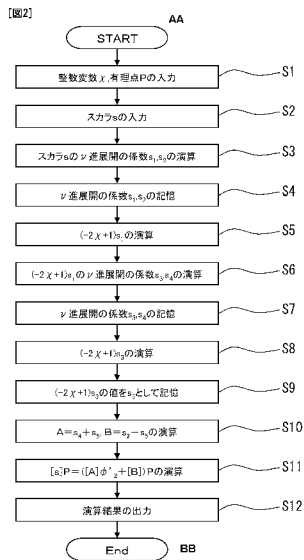
人岡山大学大学院自然科学研究科内 Okayama (JP). 酒見 由美 (SAKEMI, Yumi) [JP/JP]; 〒7008530 岡山県岡山市北区津島中三丁目1番1号 国立大学法人岡山大学大学院自然科学研究科内 Okayama (JP). 森川 良孝 (MORIKAWA, Yoshitaka) [JP/JP]; 〒7008530 岡山県岡山市北区津島中三丁目1番1号 国立大学法人岡山大学大学院自然科学研究科内 Okayama (JP).

- (74) 代理人: 森 寿夫, 外 (MORI, Hisao et al.); 〒7100047 岡山県倉敷市大島505-14 Okayama (JP).
- (81) 指定国 (表示のない限り、全ての種類の国内保護が可能): AE, AG, AL, AM, AO, AT, AU, AZ, BA, BB, BG, BH, BR, BW, BY, BZ, CA, CH, CL, CN, CO, CR, CU, CZ, DE, DK, DM, DO, DZ, EC, EE, EG, ES, FI, GB, GD, GE, GH, GM, GT, HN, HR, HU, ID, IL, IN, IS, JP, KE, KG, KM, KN, KP, KR, KZ, LA, LC, LK, LR, LS, LT, LU, LY, MA, MD, ME, MG, MK, MN, MW, MX, MY, MZ, NA, NG, NI, NO, NZ, OM, PE, PG, PH, PL, PT, RO, RS, RU, SC, SD, SE, SG, SK, SL, SM, ST,

[続葉有]

(54) Title: SCALAR MULTIPLIER AND SCALAR MULTIPLICATION PROGRAM

(54) 発明の名称: スカラ倍算器及びスカラ倍算プログラム



(57) Abstract: Provided are a scalar multiplier which makes it possible to execute scalar multiplication at high speed, and a scalar multiplication program. When calculating a scalar multiplication $[s]P$ of a rational point P of an additive group E (F_p) comprising rational points on an elliptical curve wherein a characteristic p , an order r , and a trace t of a Frobenius endomorphism map at an embedded degree $k = 12$ using an integer variable χ are provided as $p(\chi) = 36\chi^4 - 36\chi^3 + 24\chi^2 - 6\chi + 1$, $r(\chi) = 36\chi^4 - 36\chi^3 + 18\chi^2 - 6\chi + 1 = p(\chi) + 1 - t(\chi)$, $t(\chi) = 6\chi^2 + 1$, assuming that the twist degree d is 6 and a positive integer e is 2 where $k = d \times e$, $[s]P = ([A]\phi_2 + [B])P$ is calculated using the Frobenius map ϕ_2 where $[p^2]P = \phi_2^2(P)$.

(57) 要約: スカラ倍算を高速で実行できるスカラ倍算器、及びスカラ倍算プログラムを提供する。整数変数 χ を用いて、埋め込み次数 $k = 12$ における標数 p 、位数 r 、フロベニウス自己準同型写像のトレース t が、 $p(\chi) = 36\chi^4 - 36\chi^3 + 24\chi^2 - 6\chi + 1$, $r(\chi) = 36\chi^4 - 36\chi^3 + 18\chi^2 - 6\chi + 1 = p(\chi) + 1 - t(\chi)$, $t(\chi) = 6\chi^2 + 1$, として与えられる楕円曲線の有理点が成す加法群 $E(F_p)$ の有理点 P のスカラ倍算 $[s]P$ を演算する際に、ツイスト次数 d を 6 とし、 $k = d \times e$ となる正整数 e を 2 とし、 $[p^2]P = \phi_2^2(P)$ となるフロベニウス写像 ϕ_2 を用いて、 $[s]P = ([A]\phi_2 + [B])P$ として演算する。

AA START
 S1 INPUT INTEGER VARIABLE x AND RATIONAL POINT P
 S2 INPUT SCALAR s
 S3 CALCULATE v -ADIC EXPANSION COEFFICIENTS s_1, s_2 OF SCALAR s
 S4 STORE v -ADIC EXPANSION COEFFICIENTS s_1, s_2
 S5 CALCULATE $(-2x+1)s_1$
 S6 CALCULATE v -ADIC EXPANSION COEFFICIENTS s_3, s_4 OF $(-2x+1)s_2$
 S7 STORE v -ADIC EXPANSION COEFFICIENTS s_3, s_4
 S8 CALCULATE $(-2x+1)s_3$
 S9 STORE VALUE $(-2x+1)s_4$ AS s_5
 S10 CALCULATE $A = s_4 + s_5, B = s_3 - s_5$
 S11 CALCULATE $[s]P = ([A]\phi_2 + [B])P$
 S12 OUTPUT CALCULATION RESULT
 BB END

WO 2010/061951 A1

SV, SY, TJ, TM, TN, TR, TT, TZ, UA, UG, US, UZ, VC,
VN, ZA, ZM, ZW.

(84) 指定国 (表示のない限り、全ての種類の広域保
護が可能): ARIPO (BW, GH, GM, KE, LS, MW, MZ,
NA, SD, SL, SZ, TZ, UG, ZM, ZW), ユーラシア
(AM, AZ, BY, KG, KZ, MD, RU, TJ, TM), ヨーロッパ
(AT, BE, BG, CH, CY, CZ, DE, DK, EE, ES, FI, FR, GB,

GR, HR, HU, IE, IS, IT, LT, LU, LV, MC, MK, MT, NL,
NO, PL, PT, RO, SE, SI, SK, SM, TR), OAPI (BF, BJ,
CF, CG, CI, CM, GA, GN, GQ, GW, ML, MR, NE, SN,
TD, TG).

添付公開書類:

— 国際調査報告 (条約第 21 条(3))

明 細 書

発明の名称：スカラ倍算器及びスカラ倍算プログラム

技術分野

[0001] 本発明は、有理点 P のスカラ倍算 $[s]P$ を行うスカラ倍算器及びスカラ倍算プログラムに関する。

背景技術

[0002] 従来、インターネットなどの電気通信回線を利用して、インターネットバンキングや行政機関への電子申請などのような各種のサービスが提供されてきている。

[0003] このようなサービスを利用する場合には、サービスの利用者が、成りすまじや架空の人間などではなく、適正な利用者であることを確認するための認証処理が必要である。そこで、信頼性の高い認証方法として、公開鍵と秘密鍵を用いる公開鍵暗号をベースとした電子認証技術がよく利用されていた。

[0004] 昨今では、より多くの利用者を効率よく管理しやすくするために、IDベース暗号やグループ署名を用いた認証システムが提案されている。

[0005] IDベース暗号やグループ署名では、ペアリング演算とともに、所要のべき乗算やスカラ倍算が行われており、認証処理に要する時間をできるだけ短縮させるには、これらの演算を高速に実行することが求められていた。

[0006] そのため、べき乗算やスカラ倍算をバイナリ法やWindow法などを用いて高速化することが提案されていた。

[0007] さらに、スカラ倍算においては、写像を利用することにより演算回数を削減して高速化する手法が提案されていた(例えば、特許文献1、特許文献2参照)。

特許文献1：特開2004-271792号公報

特許文献2：特開2007-41461号公報

発明の開示

発明が解決しようとする課題

[0008] しかしながら、単に写像を利用して演算回数を削減するだけでは高速化が十分ではなく、特に、1万人を超えるような利用者を対象とした認証処理を数秒以内で完了させることが困難であったため、実用に耐えないおそれがあった。

[0009] 本発明者らはこのような現状に鑑み、スカラ倍算を高速化することにより実用性を向上させるべく研究開発を行って、本発明を成すに至ったものである。

課題を解決するための手段

[0010] 本発明のスカラ倍算器では、整数変数 χ を用いて、埋め込み次数 $k = 12$ における標数 p 、位数 r 、フロベニウス自己準同型写像のトレース t が、

$$p(\chi) = 36\chi^4 - 36\chi^3 + 24\chi^2 - 6\chi + 1,$$

$$r(\chi) = 36\chi^4 - 36\chi^3 + 18\chi^2 - 6\chi + 1 = p(\chi) + 1 - t(\chi),$$

$$t(\chi) = 6\chi^2 + 1,$$

として与えられる楕円曲線の有理点が成す加法群 $E(F_p)$ の有理点 P のスカラ倍算 $[s]P$ を演算するスカラ倍算器であって、ツイスト次数 d を 6 とし、 $k = d \times e$ となる正整数 e を 2 として、

$$[p^2]P = \phi'_2(P),$$

となるフロベニウス写像 ϕ'_2 を用い、

$$[6\chi^2 - 4\chi + 1]P = [(-2\chi + 1)p^2]P = [-2\chi + 1]\phi'_2(P)$$

であることから、 $6\chi^2 - 4\chi + 1 = \nu$ として前記スカラ s を ν 進数展開することにより

$$s = s_1\nu + s_2, \quad s_2 < \nu,$$

とし、

$$s \equiv (-2\chi + 1)s_1p^2 + s_2 \pmod{r},$$

であることから、 $(-2\chi + 1)s_1$ 部分を ν 進数展開して、

$$s \equiv (s_3\nu + s_4)p^2 + s_2 \equiv s_5p^4 + s_4p^2 + s_2 \pmod{r},$$

とし、 $p^4 \equiv p^2 - 1 \pmod{r}$ であることから、

$$s \equiv (s_4 + s_5)p^2 + (s_2 - s_5) \pmod{r},$$

であることを利用して、スカラ倍算 $[s]P$ を、

$$[s]P = ([s_4 + s_5] \phi'_2 + [s_2 - s_5])P,$$

として演算すべく、前記スカラ s の値を記憶する記憶手段と、前記係数 s_1, s_2, s_3, s_4, s_5 をそれぞれ記憶する第 1～5 補助記憶手段とを設け、前記スカラ s を ν 進数展開して得られた値を前記第 1 補助記憶手段と前記第 2 補助記憶手段に記憶させ、 $(-2\chi + 1)s_1$ を ν 進数展開して得られた値を前記第 3 補助記憶手段と前記第 4 補助記憶手段に記憶させ、 $(-2\chi + 1)s_3$ の値を前記第 5 補助記憶手段に記憶させることとした。

[0011] また、本発明のスカラ倍算プログラムでは、整数変数 χ を用いて、埋め込み次数 $k = 12$ における標数 p 、位数 r 、フロベニウス自己準同型写像のトレース t が、

$$p(\chi) = 36\chi^4 - 36\chi^3 + 24\chi^2 - 6\chi + 1,$$

$$r(\chi) = 36\chi^4 - 36\chi^3 + 18\chi^2 - 6\chi + 1 = p(\chi) + 1 - t(\chi),$$

$$t(\chi) = 6\chi^2 + 1,$$

として与えられる楕円曲線の有理点が成す加法群 $E(F_p)$ の有理点 P のスカラ倍算 $[s]P$ を、CPU を備えた電子計算機に演算させるスカラ倍算プログラムであって、ツイスト次数 d を 6 とし、 $k = d \times e$ となる正整数 e を 2 として、

$$[p^2]P = \phi'_2(P),$$

となるフロベニウス写像 ϕ'_2 を用い、

$$[6\chi^2 - 4\chi + 1]P = [(-2\chi + 1)p^2]P = [-2\chi + 1]\phi'_2(P)$$

であることから、 $6\chi^2 - 4\chi + 1 = \nu$ として前記スカラ s を ν 進数展開することにより

$$s = s_1\nu + s_2, \quad s_2 < \nu,$$

とし、

$$s \equiv (-2\chi + 1)s_1p^2 + s_2 \pmod{r},$$

であることから、 $(-2\chi + 1)s_1$ 部分を ν 進数展開して、

$$s \equiv (s_3\nu + s_4)p^2 + s_2 \equiv s_5p^4 + s_4p^2 + s_2 \pmod{r},$$

とし、 $p^4 \equiv p^2 - 1 \pmod{r}$ であることから、

$$s \equiv (s_4 + s_5)p^2 + (s_2 - s_5) \pmod{r},$$

であることを利用して、スカラ倍算 $[s]P$ を、

$$[s]P = ([s_4 + s_5]\phi'_2 + [s_2 - s_5])P,$$

として前記電子計算機に演算させるべく、前記スカラ s を ν 進数展開して得られる前記 s_1 を第1のレジスタに格納させるとともに前記 s_2 を第2のレジスタに格納させるステップと、 $(-2\chi + 1)s_1$ を ν 進数展開して得られる前記 s_3 を第3のレジスタに格納させるとともに前記 s_4 を第4のレジスタに格納させるステップと、 $(-2\chi + 1)s_3$ の値を前記 s_5 の値として第5のレジスタに格納させるステップとを有することとした。

[0012] また、本発明のスカラ倍算器では、整数変数 χ を用いて、埋め込み次数 $k = 8$ における標数 p 、位数 r 、フロベニウス自己準同型写像のトレース t が、

$$p(\chi) = (81\chi^6 + 54\chi^5 + 45\chi^4 + 12\chi^3 + 13\chi^2 + 6\chi + 1)/4,$$

$$r(\chi) = 9\chi^4 + 12\chi^3 + 8\chi^2 + 4\chi + 1,$$

$$t(\chi) = -9\chi^3 - 3\chi^2 - 2\chi,$$

として与えられる楕円曲線の有理点が成す加法群 $E(F_p)$ の有理点 P のスカラ倍算 $[s]P$ を演算するスカラ倍算器であって、

ツイスト次数 d を4とし、 $k = d \times e$ となる正整数 e を2として、

$$[p^2]P = \phi'_2(P),$$

となるフロベニウス写像 ϕ'_2 を用い、

$$[3\chi^2 + 2\chi]P = [(-2\chi - 1)p^2]P = [-2\chi - 1]\phi'_2(P)$$

であることから、 $3\chi^2 + 2\chi = \nu$ として前記スカラ s を ν 進数展開することにより

$$s = s_1\nu + s_2, \quad s_2 < \nu,$$

とし、

$$s \equiv (-2\chi - 1)s_1p^2 + s_2 \pmod{r},$$

であることから、 $(-2\chi - 1)s_1$ 部分を ν 進数展開して、

$$s \equiv (s_3\nu + s_4)p^2 + s_2 \equiv s_5p^4 + s_4p^2 + s_2 \pmod{r},$$

とし、 $p^4 \equiv -1 \pmod{r}$ であることから、

$$s \equiv s_4 p^2 + (s_2 - s_5) \pmod{r},$$

であることを利用して、スカラ倍算 $[s]P$ を、

$$[s]P = ([s_4] \phi'_2 + [s_2 - s_5])P,$$

として演算すべく、前記スカラ s の値を記憶する記憶手段と、前記係数 s_1, s_2, s_3, s_4, s_5 をそれぞれ記憶する第1～5補助記憶手段とを設け、前記スカラ s を ν 進数展開して得られた値を前記第1補助記憶手段と前記第2補助記憶手段に記憶させ、 $(-2\chi - 1)s_1$ を ν 進数展開して得られた値を前記第3補助記憶手段と前記第4補助記憶手段に記憶させ、 $(-2\chi - 1)s_3$ の値を前記第5補助記憶手段に記憶させることとした。

[0013] また、本発明のスカラ倍算プログラムでは、整数変数 χ を用いて、埋め込み次数 $k=8$ における標数 p 、位数 r 、フロベニウス自己準同型写像のトレース t が、

$$p(\chi) = (81\chi^6 + 54\chi^5 + 45\chi^4 + 12\chi^3 + 13\chi^2 + 6\chi + 1)/4,$$

$$r(\chi) = 9\chi^4 + 12\chi^3 + 8\chi^2 + 4\chi + 1,$$

$$t(\chi) = -9\chi^3 - 3\chi^2 - 2\chi,$$

として与えられる楕円曲線の有理点が成す加法群 $E(F_p)$ の有理点 P のスカラ倍算 $[s]P$ を、CPUを備えた電子計算機に演算させるスカラ倍算プログラムであって、ツイスト次数 d を4とし、 $k = d \times e$ となる正整数 e を2として、

$$[p^2]P = \phi'_2(P),$$

となるフロベニウス写像 ϕ'_2 を用い、

$$[3\chi^2 + 2\chi]P = [(-2\chi - 1)p^2]P = [-2\chi - 1]\phi'_2(P)$$

であることから、 $3\chi^2 + 2\chi = \nu$ として前記スカラ s を ν 進数展開することにより

$$s = s_1\nu + s_2, \quad s_2 < \nu,$$

とし、

$$s \equiv (-2\chi - 1)s_1 p^2 + s_2 \pmod{r},$$

であることから、 $(-2\chi - 1)s_1$ 部分を ν 進数展開して、

$$s \equiv (s_3\nu + s_4)p^2 + s_2 \equiv s_5p^4 + s_4p^2 + s_2 \pmod{r},$$

とし、 $p^4 \equiv -1 \pmod{r}$ であることから、

$$s \equiv s_4p^2 + (s_2 - s_5) \pmod{r},$$

であることを利用して、スカラ倍算 $[s]P$ を、

$$[s]P = ([s_4]\phi'_2 + [s_2 - s_5])P,$$

として前記電子計算機に演算させるべく、前記スカラ s を ν 進数展開して得られる前記 s_1 を第1のレジスタに格納させるとともに前記 s_2 を第2のレジスタに格納させるステップと、 $(-2\chi - 1)s_1$ を ν 進数展開して得られる前記 s_3 を第3のレジスタに格納させるとともに前記 s_4 を第4のレジスタに格納させるステップと、 $(-2\chi - 1)s_3$ の値を前記 s_5 の値として第5のレジスタに格納させるステップとを有することとした。

発明の効果

- [0014] 本発明によれば、スカラ倍算 $[s]P$ を演算するに当たり、スカラ s を ν 進展開してスカラ s の大きさを小さくするとともに、

$$[p^2]P = \phi'_2(P)$$

を満たすフロベニウス写像 $\phi'_2(P)$ を用いることにより、スカラ倍算 $[s]P$ の演算量をほぼ半減させることができ、スカラ倍算を高速化できる。

図面の簡単な説明

- [0015] [図1]本発明の実施形態にかかるスカラ倍算器を備えた電子計算機の概略模式図である。

[図2]本発明の実施形態にかかるスカラ倍算プログラムのフローチャートである。

符号の説明

- [0016] 10 電子計算機
11 CPU
12 記憶装置
13 メモリ装置

- 14 バス
- 110 スカラ値用レジスタ
- 111 第1のレジスタ
- 112 第2のレジスタ
- 113 第3のレジスタ
- 114 第4のレジスタ
- 115 第5のレジスタ5

発明を実施するための最良の形態

[0017] 本発明の実施形態を説明するにあたり、最初に埋め込み次数 $k=12$ の場合について説明し、その後、埋め込み次数 $k=8$ の場合について説明する。

[0018] 本実施形態のスカラ倍算器及びスカラ倍算プログラムで実行されるスカラ倍算は、埋め込み次数 $k=12$ の場合、標数 p 、位数 r 、フロベニウス自己準同型写像のトレース t が、

$$p(\chi) = 36\chi^4 - 36\chi^3 + 24\chi^2 - 6\chi + 1, \quad \dots \text{(式1)}$$

$$r(\chi) = 36\chi^4 - 36\chi^3 + 18\chi^2 - 6\chi + 1 = p(\chi) + 1 - t(\chi), \quad \dots \text{(式2)}$$

)

$$t(\chi) = 6\chi^2 + 1, \quad \dots \text{(式3)}$$

として与えられる楕円曲線の有理点が成す加法群 $E(F_p)$ の有理点 P のスカラ倍算 $[s]P$ である。この楕円曲線は、ペアリングフレンドリ曲線の1種として Barreto-Naehrig 曲線（以下、「BN 曲線」という。）が知られているものである。

[0019] この BN 曲線で表される楕円曲線に対しては、部分体ツイスト曲線が存在することが知られている。特に、埋め込み次数 $k=12$ の場合には、6 次のツイスト曲線が知られており、

$$[p^2]P = \phi'_2(P),$$

となるフロベニウス写像 ϕ'_2 が知られている。

[0020] このフロベニウス写像 ϕ'_2 を用いることにより、スカラ演算を高速化することができることを利用するとともに、本発明では、以下に説明する関係式を

利用してスカラ演算を高速化している。

[0021] まず、式 2 より下式が得られる。

$$36\chi^4 - 36\chi^3 + 18\chi^2 - 6\chi + 1 \equiv 0 \pmod{r}. \quad \dots \text{(式 4)}$$

[0022] また、 $p \equiv t - 1 \pmod{r}$ であるので、下式が得られる。

$$p^2 - 6\chi p + 3p - 6\chi + 1 \equiv 0 \pmod{r}. \quad \dots \text{(式 5)}$$

[0023] ここで、式 5 を変形することにより下式が得られる。

$$(-6\chi + 3)p \equiv -p^2 + 6\chi - 1 \pmod{r}. \quad \dots \text{(式 6)}$$

[0024] ここで、式 6 の両辺を平方することにより下式が得られる。

$$(-6\chi + 3)^2 p^2 \equiv (p^2 - 6\chi + 1)^2 \pmod{r},$$

$$36\chi^2 p^2 - 36\chi p^2 + 9p^2 \equiv p^4 - 12\chi p^2 + 2p^2 + 36\chi^2 - 12\chi + 1 \pmod{r}. \quad \dots$$

(式 7)

[0025] さらに、 $p^4 + 1 \equiv p^2 \pmod{r}$ であることを利用して式 7 を変形することにより、下式が得られる。

$$36\chi^2 p^2 - 36\chi p^2 + 9p^2 \equiv -12\chi p^2 + 3p^2 + 36\chi^2 - 12\chi \pmod{r},$$

$$36\chi^2(p^2 - 1) \equiv (24\chi - 6)p^2 - 12\chi \pmod{r},$$

$$6\chi^2(p^2 - 1) \equiv (4\chi - 1)p^2 - 2\chi \pmod{r}. \quad \dots \text{(式 8)}$$

[0026] そして、式 8 の両辺に $(p^2 - 1)^{-1}$ を掛ける際に、

$$p^4 - p^2 + 1 \equiv 0 \pmod{r}, \quad \dots \text{(式 9)}$$

であることから、

$$-p^2(p^2 - 1) \equiv 1 \pmod{r}, \quad \dots \text{(式 10)}$$

であるので、

$$(p^2 - 1)^{-1} \equiv -p^2 \pmod{r}, \quad \dots \text{(式 11)}$$

であることを利用して、式 8 を下式のように変形できる。

$$6\chi^2 \equiv -(4\chi - 1)p^4 + 2\chi p^2$$

$$\equiv -(4\chi - 1)(p^2 - 1) + 2\chi p^2 \pmod{r}. \quad \dots \text{(式 12)}$$

[0027] したがって、式 12 を変形することにより下式が得られる。

$$6\chi^2 - 4\chi + 1 \equiv (-2\chi - 1)p^2 \pmod{r}, \quad \dots \text{(式 13)}$$

[0028] これにより、下式のフロベニウス写像 ϕ'_2 の関係式が得られる。

$[6\chi^2 - 4\chi + 1]P = [(-2\chi + 1)p^2]P = [-2\chi + 1]\phi'_2(P), \dots$ (式 14)

[0029] 次いで、フロベニウス写像 ϕ'_2 を用いたスカラ倍算 $[s]P$ を考える。ここで、便宜上、

$$\nu = 6\chi^2 - 4\chi + 1, \dots \text{(式 15)}$$

とする。

[0030] この場合、スカラ s の ν 進展開は下式のように表すことができる。

$$s = s_1\nu + s_2, s_2 < \nu, \dots \text{(式 16)}$$

[0031] ここで、式 16 は、式 15 と式 14 より、下式のように表すことができる。

$$s \equiv (-2\chi + 1)s_1p^2 + s_2 \pmod{r}, \dots \text{(式 17)}$$

[0032] なお、 $(-2\chi + 1)s_1$ は ν より大きくなることがある。そこで、 $(-2\chi + 1)s_1$ をさらに ν 進展開して下式のように表すこととする。

$$s \equiv (s_3\nu + s_4)p^2 + s_2 \pmod{r}, \dots \text{(式 18)}$$

[0033] ここで式 14 により $s_3\nu p^2 \equiv (-2\chi + 1)s_3p^4$ であるので、 $(-2\chi + 1)s_3 = s_5$ とすることにより、式 18 は下式のように表すことができる。

$$s \equiv s_5p^4 + s_4p^2 + s_2 \pmod{r}, \dots \text{(式 19)}$$

[0034] この場合、 s_4 と s_2 は ν よりも小さい一方で、 s_5 は ν より小さくないかもしれないが、そのような場合でもそれほど大きくなることはなく、問題となることはない。

[0035] 式 9 より $p^4 \equiv p^2 - 1 \pmod{r}$ であることから、式 19 は下式のように変形できる。

$$s \equiv s_5(p^2 - 1) + s_4p^2 + s_2 \equiv (s_4 + s_5)p^2 + (s_2 - s_5) \pmod{r}, \dots \text{(式 20)}$$

[0036] ここで、

$$A = s_4 + s_5, \dots \text{(式 21)}$$

$$B = s_2 - s_5, \dots \text{(式 22)}$$

とすると、スカラ倍算 $[s]P$ は

$$[s]P = ([A]\phi'_2 + [B])P, \dots \text{(式 23)}$$

として演算できる。

- [0037] したがって、たとえば、256ビットサイズのスカラ s に対するスカラ倍算を演算する際には、 A 及び B は128ビットサイズとなるので、演算量をほぼ半減させてスカラ倍算を高速化することができる。
- [0038] 上述したスカラ倍算を行うスカラ倍算器は、図1に示すように電子計算機10で構成されるものであり、演算処理を実行するCPU11と、スカラ倍算プログラム及びスカラ倍算プログラムで使用する有理点のデータなどを記憶したハードディスクなどの記憶装置12と、スカラ倍算プログラムを展開して実行可能とするとともに、スカラ倍算プログラムの実行にともなって生成されたデータを一時的に記憶するRAMなどで構成されたメモリ装置13を備えている。図1中、14はバスである。
- [0039] 本実施形態では、CPU11内にスカラ s の値を記憶するスカラ値用レジスタ110を記憶手段として設けることとしている。さらに、CPU11内には、上述したようにスカラ s の ν 進数展開にともなって生じる係数 s_1, s_2, s_3, s_4, s_5 の値をそれぞれ記憶する第1～5のレジスタ111, 112, 113, 114, 115を第1～5補助記憶手段として設けている。なお、スカラ値用レジスタ110で構成した記憶手段、及び第1～5のレジスタ111, 112, 113, 114, 115で構成した第1～5補助記憶手段は、CPU11内にはではなく、メモリ装置13などのCPU11以外の記憶手段に設けてもよい。
- [0040] スカラ倍算器として機能する電子計算機10では、スカラ倍算の実行が必要となった場合にスカラ倍算プログラムを起動して、スカラ倍算を実行している。
- [0041] すなわち、電子計算機10では、起動したスカラ倍算プログラムによって、図2に示すフローチャートに基づいてスカラ倍算を行い、演算結果を出力している。
- [0042] 起動したスカラ倍算プログラムによって、電子計算機10では、CPU11を入力手段として機能させて、記憶装置12またはメモリ装置13に記憶されている整数変数 x のデータと、有理点 P のデータを読み出して、CPU11の内部

に設けている所定のレジスタにそれぞれ入力している(ステップS 1)。

[0043] さらに、電子計算機10では、スカラ倍算プログラムによってCPU11を入力手段として機能させて、スカラ倍算におけるスカラ s の値を入力させている。そして、CPU11を記憶手段として機能させて、入力されたスカラ s の値をスカラ値用レジスタ110に記憶している(ステップS 2)。

[0044] 次いで、電子計算機10では、スカラ倍算プログラムによってCPU11を演算手段として機能させて、上述したようにスカラ s を ν 進数展開して、 ν 進数展開の係数である s_1 と s_2 を算出している(ステップS 3)。すなわち、係数 s_1 は、スカラ s を ν で除した際の商であり、係数 s_2 は、スカラ s を ν で除した際の剰余である。

[0045] 算出された ν 進数展開の係数である s_1 と s_2 の値は、CPU11を記憶手段として機能させて、第1のレジスタ111及び第2のレジスタ112にそれぞれ格納して、記憶させている(ステップS 4)。

[0046] 次いで、電子計算機10では、CPU11を演算手段として機能させて $(-2\chi + 1)s_1$ の値を演算し(ステップS 5)、上述したように $(-2\chi + 1)s_1$ を ν 進数展開して、 ν 進数展開の係数である s_3 と s_4 を算出している(ステップS 6)。すなわち、係数 s_3 は、 $(-2\chi + 1)s_1$ を ν で除した際の商であり、係数 s_4 は、 $(-2\chi + 1)s_1$ を ν で除した際の剰余である。

[0047] 算出された $(-2\chi + 1)s_1$ の ν 進数展開の係数である s_3 と s_4 の値は、CPU11を記憶手段として機能させて、第3のレジスタ113及び第4のレジスタ114にそれぞれ格納して、記憶させている(ステップS 7)。

[0048] 次いで、電子計算機10では、CPU11を演算手段として機能させて $(-2\chi + 1)s_3$ の値を演算し(ステップS 8)、この値を第5のレジスタ115にそれぞれ格納して、記憶させている(ステップS 9)。

[0049] 次いで、電子計算機10では、CPU11を演算手段として機能させて、第1～5のレジスタ11, 112, 113, 114, 115に記憶された値を用いて、 $s_4 + s_5$ の値及び $s_2 - s_5$ の値を演算している(ステップS 10)。

[0050] 演算された $s_4 + s_5$ の値及び $s_2 - s_5$ の値は、それぞれ所定のレジスタに格納し

て、記憶させている。説明の便宜上、 $s_4 + s_5 = A$ 、 $s_2 - s_5 = B$ とする。

[0051] 次いで、電子計算機10では、CPU11を演算手段として機能させて、スカラ倍算 $[s]P$ を、 $[s]P = ([A]\phi'_2 + [B])P$ として演算している(ステップS11)。ここで、A及びBの値の大きさが、スカラ s の大きさの半分程度となることにより、演算時間を大きく削減できる。コンピュータシミュレーションでは、一般的なバイナリ法でのスカラ倍算と比較して、40%程度の高速化が可能であった。

[0052] なお、ステップS11で行っている $[s]P = ([A]\phi'_2 + [B])P$ の演算は、具体的には、以下のように行っている。

[0053] ここで、電子計算機10には、スカラ演算 $[s]P$ の演算結果を記憶する演算結果用レジスタRと、演算に必要となる値を一時的に記憶しておく第1補助レジスタCと第2補助レジスタDとを設けている。

[0054] まず、電子計算機10は、初期化処理として、演算結果用レジスタRを零元とし、第1補助レジスタCに $\phi'_2(P)$ を代入し、第2補助レジスタDに有理点Pを代入している。

[0055] また、上記のAとBをそれぞれ2進数表示した際のi番目の桁の値を A_i と B_i と表示するものとして、電子計算機10では、AとBの全桁にわたって以下の演算ループを実行することとしている。

[0056] i番目の桁において、 $A_i = 1$ かつ $B_i = 1$ の場合には、演算結果用レジスタRに、演算結果用レジスタRと第2補助レジスタDの和を代入する。すなわち、 $R \leftarrow R + D$ である。

[0057] i番目の桁において、 $A_i = 1$ かつ $B_i = 0$ の場合には、演算結果用レジスタRに、演算結果用レジスタRと第1補助レジスタCの和を代入する。すなわち、 $R \leftarrow R + C$ である。

[0058] i番目の桁において、 $A_i = 0$ かつ $B_i = 1$ の場合には、演算結果用レジスタRに、演算結果用レジスタRと有理点Pの和を代入する。すなわち、 $R \leftarrow R + P$ である。

[0059] そして、演算結果用レジスタRに、演算結果用レジスタRと演算結果用レ

ジスタ R の和を代入する。すなわち、 $R \leftarrow R + R$ である。

[0060] その後、電子計算機 10 は、デクリメントまたはインクリメントを行って、 A_i と B_i の桁をずらしながら A と B の全桁にわたって演算を行うことによりスカラ演算 $[s]P$ の演算を行って、演算結果を出力可能としている。

[0061] 本実施形態の演算では、A と B とを同時進行で演算していることにより、A と B の値の大きさが、スカラ s の大きさの半分程度となることのメリットを最大限利用することができる。

[0062] 次に、埋め込み次数 $k=8$ の場合について説明する。

[0063] 埋め込み次数 $k=8$ の場合、標数 p 、位数 r 、フロベニウス自己準同型写像のトレース t が、

$$p(\chi) = (81\chi^6 + 54\chi^5 + 45\chi^4 + 12\chi^3 + 13\chi^2 + 6\chi + 1)/4,$$

$$r(\chi) = 9\chi^4 + 12\chi^3 + 8\chi^2 + 4\chi + 1,$$

$$t(\chi) = -9\chi^3 - 3\chi^2 - 2\chi,$$

として与えられる BN 曲線の有理点が成す加法群 $E(F_p)$ の有理点 P でのスカラ倍算 $[s]P$ とする。

[0064] この場合でも、部分体ツイスト曲線が存在することが知られている。特に、埋め込み次数 $k=8$ の場合には、4 次のツイスト曲線が知られており、

$$[p^2]P = \phi'_2(P),$$

となるフロベニウス写像 ϕ'_2 が知られている。

[0065] また、埋め込み次数 $k=8$ の場合には、上述した式 14 の代わりに、

$$[3\chi^2 + 2\chi]P = [(-2\chi - 1)p^2]P = [-2\chi - 1]\phi'_2(P), \quad \dots \text{(式 24)}$$

)

の関係式があることを利用している。

[0066] そして、埋め込み次数 $k=12$ の場合と同様に、 $3\chi^2 + 2\chi = \nu$ として前記スカラ s を ν 進数展開すると、下式のように表すことができる。

$$s = s_1\nu + s_2, \quad s_2 < \nu. \quad \dots \text{(式 25)}$$

[0067] ここで、式 24 より、式 25 は下式のように表すことができる。

$$s \equiv (-2\chi - 1)s_1p^2 + s_2 \pmod{r}. \quad \dots \text{(式 26)}$$

[0068] なお、 $(-2\chi - 1)s_1$ は ν より大きくなることがある。そこで、 $(-2\chi - 1)s_1$ をさらに ν 進展開して下式のように表すこととする。

$$s \equiv (s_3\nu + s_4)p^2 + s_2 \pmod{r}. \quad \dots \text{(式 27)}$$

[0069] ここで式 24 により $s_3\nu p^2 \equiv (-2\chi - 1)s_3p^4$ であるので、 $(-2\chi - 1)s_3 = s_5$ とすることにより、式 27 は下式のように表すことができる。

$$s \equiv s_5p^4 + s_4p^2 + s_2 \pmod{r}. \quad \dots \text{(式 28)}$$

[0070] この場合、 s_4 と s_2 は ν よりも小さい一方で、 s_5 は ν より小さくないかもしれないが、そのような場合でもそれほど大きくなることはなく、問題となることはない。

[0071] 埋め込み次数 $k=8$ の場合、 $p^4 \equiv -1 \pmod{r}$ であることから、式 28 は下式のように変形できる。

$$s \equiv -s_5 + s_4p^2 + s_2 \equiv s_4p^2 + (s_2 - s_5) \pmod{r}. \quad \dots \text{(式 29)}$$

[0072] ここで、

$$A = s_4, \quad \dots \text{(式 30)}$$

$$B = s_2 - s_5, \quad \dots \text{(式 31)}$$

とすると、スカラー倍算 $[s]P$ は、埋め込み次数 $k=12$ の場合と同様に

$$[s]P = ([A] \phi'_2 + [B])P,$$

として演算できる。

[0073] したがって、埋め込み次数 $k=8$ の場合には、埋め込み次数 $k=12$ の場合と比較して、第 5 のレジスタ 115 に格納される値の計算式、及び式 30 の A の値が異なるだけであり、埋め込み次数 $k=12$ の場合と同様に演算できる。

[0074] そこで、埋め込み次数 $k=8$ の場合におけるスカラー演算器は、埋め込み次数 $k=12$ の場合におけるスカラー演算器と同じとし、図 2 に示したフローチャートのステップ S8 での計算式を $(-2\chi - 1)s_3$ とし、ステップ S9 で s_5 の値を $(-2\chi - 1)s_3$ とし、ステップ S10 で $A = s_4$ としている。

[0075] これにより、埋め込み次数 $k=8$ の場合でも、 A 及び B の値の大きさが、スカラー s の大きさの半分程度となることにより、スカラー倍算 $[s]P$ の演算時間を大きく削減できる。

産業上の利用可能性

[0076] 本発明によれば、グループ署名の演算中に必要となるスカラ演算の速度を向上させて、グループ署名の処理の高速化をはかることができる。

請求の範囲

[請求項1] 整数変数 χ を用いて、埋め込み次数 $k=12$ における標数 p 、位数 r 、フロベニウス自己準同型写像のトレース t が、

$$p(\chi) = 36\chi^4 - 36\chi^3 + 24\chi^2 - 6\chi + 1,$$

$$r(\chi) = 36\chi^4 - 36\chi^3 + 18\chi^2 - 6\chi + 1 = p(\chi) + 1 - t(\chi),$$

$$t(\chi) = 6\chi^2 + 1,$$

として与えられる楕円曲線の有理点が成す加法群 $E(F_p)$ の有理点 P のスカラ倍算 $[s]P$ を演算するスカラ倍算器であって、

ツイスト次数 d を 6 とし、 $k = d \times e$ となる正整数 e を 2 として、

$$[p^2]P = \phi'_2(P),$$

となるフロベニウス写像 ϕ'_2 を用い、

$$[6\chi^2 - 4\chi + 1]P = [(-2\chi + 1)p^2]P = [-2\chi + 1]\phi'_2(P)$$

であることから、 $6\chi^2 - 4\chi + 1 = \nu$ として前記スカラ s を ν 進数展開することにより

$$s = s_1\nu + s_2, \quad s_2 < \nu,$$

とし、

$$s \equiv (-2\chi + 1)s_1p^2 + s_2 \pmod{r},$$

であることから、 $(-2\chi + 1)s_1$ 部分を ν 進数展開して、

$$s \equiv (s_3\nu + s_4)p^2 + s_2 \equiv s_5p^4 + s_4p^2 + s_2 \pmod{r},$$

とし、 $p^4 \equiv p^2 - 1 \pmod{r}$ であることから、

$$s \equiv (s_4 + s_5)p^2 + (s_2 - s_5) \pmod{r},$$

であることを利用して、スカラ倍算 $[s]P$ を、

$$[s]P = ([s_4 + s_5]\phi'_2 + [s_2 - s_5])P,$$

として演算すべく、

前記スカラ s の値を記憶する記憶手段と、

前記係数 s_1, s_2, s_3, s_4, s_5 をそれぞれ記憶する第 1 ~ 5 補助記憶手段とを設け、

前記スカラ s を ν 進数展開して得られた値を前記第 1 補助記憶手段

と前記第2補助記憶手段に記憶させ、 $(-2\chi + 1)s_1$ を ν 進数展開して得られた値を前記第3補助記憶手段と前記第4補助記憶手段に記憶させ、 $(-2\chi + 1)s_3$ の値を前記第5補助記憶手段に記憶させているスカラ倍算器。

[請求項2]

整数変数 χ を用いて、埋め込み次数 $k = 12$ における標数 p 、位数 r 、フロベニウス自己準同型写像のトレース t が、

$$p(\chi) = 36\chi^4 - 36\chi^3 + 24\chi^2 - 6\chi + 1,$$

$$r(\chi) = 36\chi^4 - 36\chi^3 + 18\chi^2 - 6\chi + 1 = p(\chi) + 1 - t(\chi),$$

$$t(\chi) = 6\chi^2 + 1,$$

として与えられる楕円曲線の有理点が成す加法群 $E(F_p)$ の有理点 P のスカラ倍算 $[s]P$ を、CPUを備えた電子計算機に演算させるスカラ倍算プログラムであって、

ツイスト次数 d を6とし、 $k = d \times e$ となる正整数 e を2として、

$$[p^2]P = \phi'_2(P),$$

となるフロベニウス写像 ϕ'_2 を用い、

$$[6\chi^2 - 4\chi + 1]P = [(-2\chi + 1)p^2]P = [-2\chi + 1]\phi'_2(P)$$

であることから、 $6\chi^2 - 4\chi + 1 = \nu$ として前記スカラ s を ν 進数展開することにより

$$s = s_1\nu + s_2, \quad s_2 < \nu,$$

とし、

$$s \equiv (-2\chi + 1)s_1p^2 + s_2 \pmod{r},$$

であることから、 $(-2\chi + 1)s_1$ 部分を ν 進数展開して、

$$s \equiv (s_3\nu + s_4)p^2 + s_2 \equiv s_5p^4 + s_4p^2 + s_2 \pmod{r},$$

とし、 $p^4 \equiv p^2 - 1 \pmod{r}$ であることから、

$$s \equiv (s_4 + s_5)p^2 + (s_2 - s_5) \pmod{r},$$

であることを利用して、スカラ倍算 $[s]P$ を、

$$[s]P = ([s_4 + s_5]\phi'_2 + [s_2 - s_5])P,$$

として前記電子計算機に演算させるべく、

前記スカラ s を ν 進数展開して得られる前記 s_1 を第 1 のレジスタに格納させるとともに前記 s_2 を第 2 のレジスタに格納させるステップと

、
 $(-2\chi + 1)s_1$ を ν 進数展開して得られる前記 s_3 を第 3 のレジスタに格納させるとともに前記 s_4 を第 4 のレジスタに格納させるステップと、

$(-2\chi + 1)s_3$ の値を前記 s_5 の値として第 5 のレジスタに格納させるステップと、

を有するスカラ倍算プログラム。

[請求項3]

整数変数 χ を用いて、埋め込み次数 $k=8$ における標数 p 、位数 r 、フロベニウス自己準同型写像のトレース t が、

$$p(\chi) = (81\chi^6 + 54\chi^5 + 45\chi^4 + 12\chi^3 + 13\chi^2 + 6\chi + 1)/4,$$

$$r(\chi) = 9\chi^4 + 12\chi^3 + 8\chi^2 + 4\chi + 1,$$

$$t(\chi) = -9\chi^3 - 3\chi^2 - 2\chi,$$

として与えられる楕円曲線の有理点が成す加法群 $E(F_p)$ の有理点 P のスカラ倍算 $[s]P$ を演算するスカラ倍算器であって、

ツイスト次数 d を 4 とし、 $k = d \times e$ となる正整数 e を 2 として、

$$[p^2]P = \phi'_2(P),$$

となるフロベニウス写像 ϕ'_2 を用い、

$$[3\chi^2 + 2\chi]P = [(-2\chi - 1)p^2]P = [-2\chi - 1]\phi'_2(P)$$

であることから、 $3\chi^2 + 2\chi = \nu$ として前記スカラ s を ν 進数展開することにより

$$s = s_1\nu + s_2, \quad s_2 < \nu,$$

とし、

$$s \equiv (-2\chi - 1)s_1p^2 + s_2 \pmod{r},$$

であることから、 $(-2\chi - 1)s_1$ 部分を ν 進数展開して、

$$s \equiv (s_3\nu + s_4)p^2 + s_2 \equiv s_5p^4 + s_4p^2 + s_2 \pmod{r},$$

とし、 $p^4 \equiv -1 \pmod{r}$ であることから、

$$s \equiv s_4p^2 + (s_2 - s_5) \pmod{r},$$

であることを利用して、スカラ倍算 $[s]P$ を、

$$[s]P = ([s_4] \phi'_2 + [s_2 - s_5])P,$$

として演算すべく、

前記スカラ s の値を記憶する記憶手段と、

前記係数 s_1, s_2, s_3, s_4, s_5 をそれぞれ記憶する第 1 ~ 5 補助記憶手段とを設け、

前記スカラ s を ν 進数展開して得られた値を前記第 1 補助記憶手段と前記第 2 補助記憶手段に記憶させ、 $(-2\chi - 1)s_1$ を ν 進数展開して得られた値を前記第 3 補助記憶手段と前記第 4 補助記憶手段に記憶させ、 $(-2\chi - 1)s_3$ の値を前記第 5 補助記憶手段に記憶させているスカラ倍算器。

[請求項4]

整数変数 χ を用いて、埋め込み次数 $k = 8$ における標数 p 、位数 r 、フロベニウス自己準同型写像のトレース t が、

$$p(\chi) = (81\chi^6 + 54\chi^5 + 45\chi^4 + 12\chi^3 + 13\chi^2 + 6\chi + 1)/4,$$

$$r(\chi) = 9\chi^4 + 12\chi^3 + 8\chi^2 + 4\chi + 1,$$

$$t(\chi) = -9\chi^3 - 3\chi^2 - 2\chi,$$

として与えられる楕円曲線の有理点が成す加法群 $E(F_p)$ の有理点 P のスカラ倍算 $[s]P$ を、CPU を備えた電子計算機に演算させるスカラ倍算プログラムであって、

ツイスト次数 d を 4 とし、 $k = d \times e$ となる正整数 e を 2 として、

$$[p^2]P = \phi'_2(P),$$

となるフロベニウス写像 ϕ'_2 を用い、

$$[3\chi^2 + 2\chi]P = [(-2\chi - 1)p^2]P = [-2\chi - 1]\phi'_2(P)$$

であることから、 $3\chi^2 + 2\chi = \nu$ として前記スカラ s を ν 進数展開することにより

$$s = s_1\nu + s_2, \quad s_2 < \nu,$$

とし、

$$s \equiv (-2\chi - 1)s_1p^2 + s_2 \pmod{r},$$

であることから、 $(-2\chi - 1)s_1$ 部分を ν 進数展開して、

$$s \equiv (s_3\nu + s_4)p^2 + s_2 \equiv s_5p^4 + s_4p^2 + s_2 \pmod{r},$$

とし、 $p^4 \equiv -1 \pmod{r}$ であることから、

$$s \equiv s_4p^2 + (s_2 - s_5) \pmod{r},$$

であることを利用して、スカラ倍算 $[s]P$ を、

$$[s]P = ([s_4]\phi'_2 + [s_2 - s_5])P,$$

として前記電子計算機に演算させるべく、

前記スカラ s を ν 進数展開して得られる前記 s_1 を第1のレジスタに格納させるとともに前記 s_2 を第2のレジスタに格納させるステップと

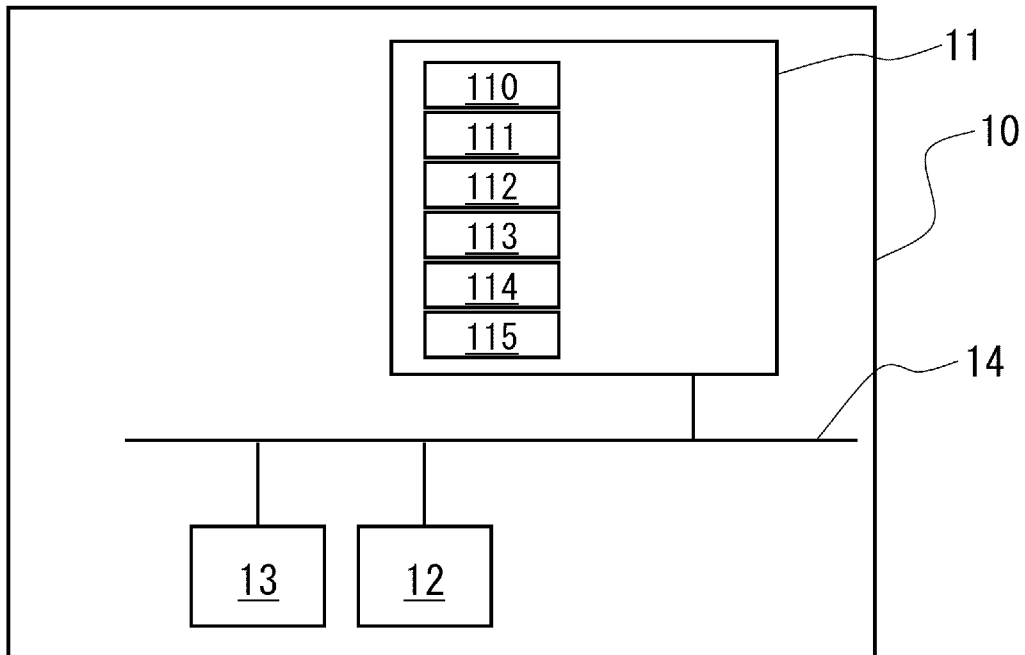
、

$(-2\chi - 1)s_1$ を ν 進数展開して得られる前記 s_3 を第3のレジスタに格納させるとともに前記 s_4 を第4のレジスタに格納させるステップと、

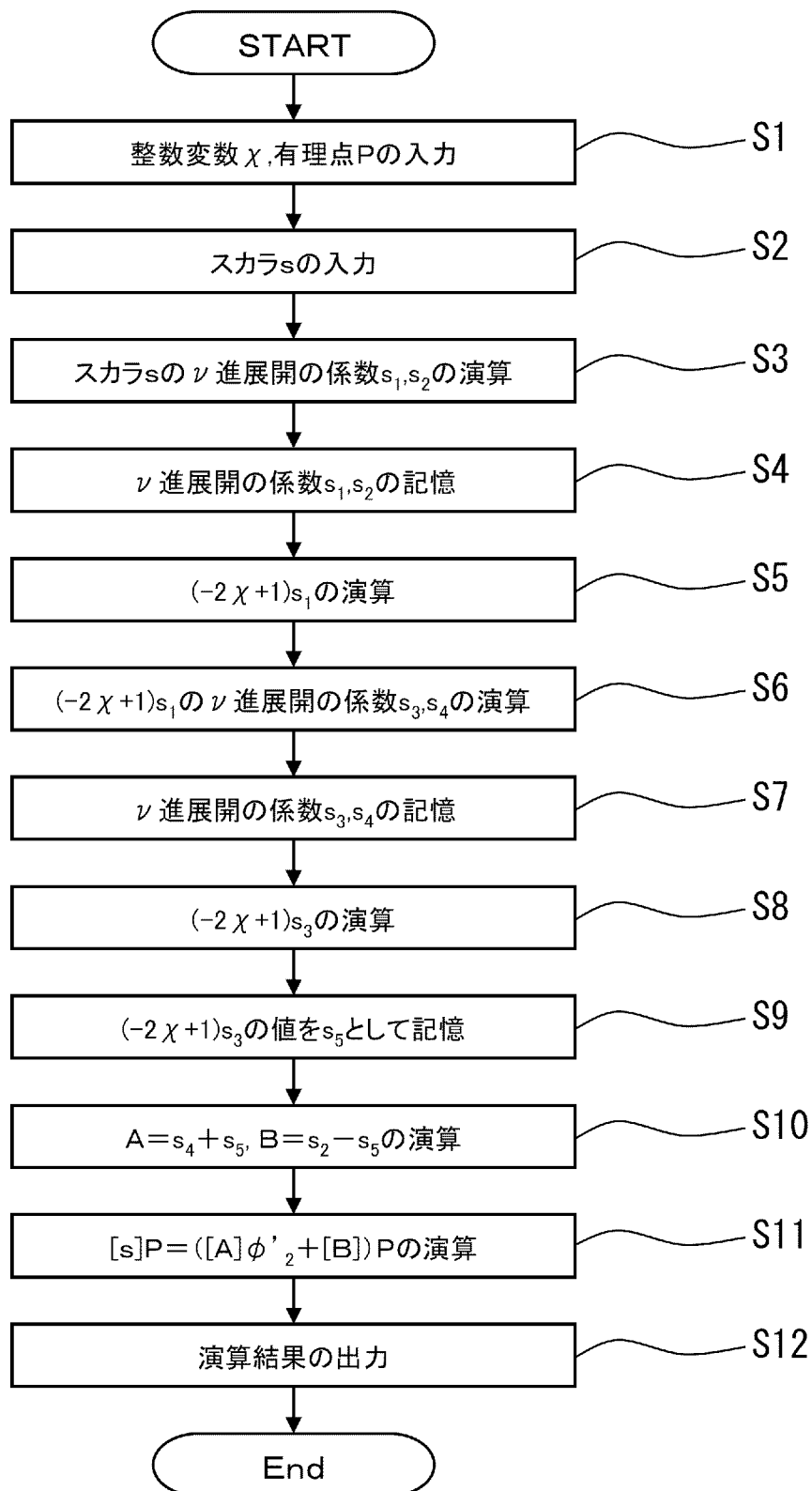
$(-2\chi - 1)s_3$ の値を前記 s_5 の値として第5のレジスタに格納させるステップと、

を有するスカラ倍算プログラム。

[図1]



[図2]



INTERNATIONAL SEARCH REPORT

International application No.

PCT/JP2009/070127

A. CLASSIFICATION OF SUBJECT MATTER

G09C1/00 (2006.01) i

According to International Patent Classification (IPC) or to both national classification and IPC

B. FIELDS SEARCHED

Minimum documentation searched (classification system followed by classification symbols)

G09C1/00

Documentation searched other than minimum documentation to the extent that such documents are included in the fields searched

Jitsuyo Shinan Koho	1922-1996	Jitsuyo Shinan Toroku Koho	1996-2010
Kokai Jitsuyo Shinan Koho	1971-2010	Toroku Jitsuyo Shinan Koho	1994-2010

Electronic data base consulted during the international search (name of data base and, where practicable, search terms used)

JSTPlus (JDreamII), JMEDPlus (JDreamII), JST7580 (JDreamII)

C. DOCUMENTS CONSIDERED TO BE RELEVANT

Category*	Citation of document, with indication, where appropriate, of the relevant passages	Relevant to claim No.
A	Yasuyuki Nogami, Masataka Akane, Yumi Sakemi, Yoshitaka Morikawa, "Efficient Pairings on Twisted Elliptic Curve", 2008 Third International Conference on Convergence and Hybrid Information Technology, 2008.11.18, p.430-439	1-4
A	Masataka AKANE, Hidehiro KATO, Takuya OKIMOTO, Yasuyuki NOGAMI, Yoshitaka MORIKAWA, "Ate Pairing ni Tekishita Barreto-Naehrig Kyokusen no Parameter Settei", Computer Security Symposium 2007 Ronbunshu, 31 October 2007 (31.10.2007), vol.2007, no.10, pages 495 to 500, IPSJ Symposium Series	1-4

 Further documents are listed in the continuation of Box C. See patent family annex.

* Special categories of cited documents:

"A" document defining the general state of the art which is not considered to be of particular relevance

"E" earlier application or patent but published on or after the international filing date

"L" document which may throw doubts on priority claim(s) or which is cited to establish the publication date of another citation or other special reason (as specified)

"O" document referring to an oral disclosure, use, exhibition or other means

"P" document published prior to the international filing date but later than the priority date claimed

"T" later document published after the international filing date or priority date and not in conflict with the application but cited to understand the principle or theory underlying the invention

"X" document of particular relevance; the claimed invention cannot be considered novel or cannot be considered to involve an inventive step when the document is taken alone

"Y" document of particular relevance; the claimed invention cannot be considered to involve an inventive step when the document is combined with one or more other such documents, such combination being obvious to a person skilled in the art

"&" document member of the same patent family

Date of the actual completion of the international search
17 February, 2010 (17.02.10)Date of mailing of the international search report
02 March, 2010 (02.03.10)Name and mailing address of the ISA/
Japanese Patent Office

Authorized officer

Facsimile No.

Telephone No.

INTERNATIONAL SEARCH REPORT

International application No.

PCT/JP2009/070127

C (Continuation). DOCUMENTS CONSIDERED TO BE RELEVANT

Category*	Citation of document, with indication, where appropriate, of the relevant passages	Relevant to claim No.
A	Roberto Maria Avanzi, Mathieu Ciet, and Francesco Sica, "Faster Scalar Multiplication on Koblitz Curves Combining Point Halving with the Frobenius Endomorphism", LNCS, 2004.03, Vol.2947, p.28-40, Public Key Cryptography - PKC 2004	1-4
A	JP 2007-41461 A (Hitachi, Ltd.), 15 February 2007 (15.02.2007), entire text; all drawings (Family: none)	1-4
A	JP 2006-184831 A (Nippon Telegraph And Telephone Corp.), 13 July 2006 (13.07.2006), paragraphs [0027] to [0068] (Family: none)	1-4
T,A	Masataka AKANE, Yasuyuki NOGAMI, and Yoshitaka MORIKAWA, "Fast Ate Pairing Computation of Embedding Degree 12 Using Subfield - Twisted Elliptic Curve", IEICE TRANSACTIONS on Fundamentals of Electronics, Communications and Computer Sciences, 2009.02.01, VOL.E92-A, NO.2, p.508-516	1-4

A. 発明の属する分野の分類 (国際特許分類 (IPC))

Int.Cl. G09C1/00(2006.01)i

B. 調査を行った分野

調査を行った最小限資料 (国際特許分類 (IPC))

Int.Cl. G09C1/00

最小限資料以外の資料で調査を行った分野に含まれるもの

日本国実用新案公報	1922-1996年
日本国公開実用新案公報	1971-2010年
日本国実用新案登録公報	1996-2010年
日本国登録実用新案公報	1994-2010年

国際調査で使用した電子データベース (データベースの名称、調査に使用した用語)

JSTPlus(JDreamII), JMEDPlus(JDreamII), JST7580(JDreamII)

C. 関連すると認められる文献

引用文献の カテゴリー*	引用文献名 及び一部の箇所が関連するときは、その関連する箇所の表示	関連する 請求項の番号
A	Yasuyuki Nogami, Masataka Akane, Yumi Sakemi, Yoshitaka Morikawa, "Efficient Pairings on Twisted Elliptic Curve", 2008 Third International Conference on Convergence and Hybrid Information Technology, 2008.11.18, p.430-439	1-4

C欄の続きにも文献が列挙されている。

パテントファミリーに関する別紙を参照。

* 引用文献のカテゴリー

「A」特に関連のある文献ではなく、一般的技術水準を示すもの
 「E」国際出願日前の出願または特許であるが、国際出願日以後に公表されたもの
 「L」優先権主張に疑義を提起する文献又は他の文献の発行日若しくは他の特別な理由を確立するために引用する文献 (理由を付す)
 「O」口頭による開示、使用、展示等に言及する文献
 「P」国際出願日前で、かつ優先権の主張の基礎となる出願

の日の後に公表された文献
 「T」国際出願日又は優先日後に公表された文献であって出願と矛盾するものではなく、発明の原理又は理論の理解のために引用するもの
 「X」特に関連のある文献であって、当該文献のみで発明の新規性又は進歩性がないと考えられるもの
 「Y」特に関連のある文献であって、当該文献と他の1以上の文献との、当業者にとって自明である組合せによって進歩性がないと考えられるもの
 「&」同一パテントファミリー文献

国際調査を完了した日

17.02.2010

国際調査報告の発送日

02.03.2010

国際調査機関の名称及びあて先

日本国特許庁 (ISA/J P)
 郵便番号100-8915
 東京都千代田区霞が関三丁目4番3号

特許庁審査官 (権限のある職員)

青木 重徳

5 S	4 2 2 9
-----	---------

電話番号 03-3581-1101 内線 3546

C (続き) . 関連すると認められる文献		
引用文献の カテゴリー*	引用文献名 及び一部の箇所が関連するときは、その関連する箇所の表示	関連する 請求項の番号
A	赤根正剛, 加藤英洋, 沖本卓求弥, 野上保之, 森川良孝, “Ate ペアリングに適したBarreto-Naehrig曲線のパラメータ設定”, コンピュータセキュリティシンポジウム2007論文集, 2007.10.31, Vol. 2007, No. 10, p. 495-500, 情報処理学会シンポジウムシリーズ	1-4
A	Roberto Maria Avanzi, Mathieu Ciet, and Francesco Sica, “Faster Scalar Multiplication on Koblitz Curves Combining Point Halving with the Frobenius Endomorphism”, LNCS, 2004.03, Vol.2947, p.28-40, Public Key Cryptography - PKC 2004	1-4
A	JP 2007-41461 A (株式会社日立製作所) 2007.02.15, 全文, 全図 (ファミリーなし)	1-4
A	JP 2006-184831 A (日本電信電話株式会社) 2006.07.13, 段落【0027】 - 【0068】 (ファミリーなし)	1-4
T, A	Masataka AKANE, Yasuyuki NOGAMI, and Yoshitaka MORIKAWA, “Fast Ate Pairing Computation of Embedding Degree 12 Using Subfield - Twisted Elliptic Curve”, IEICE TRANSACTIONS on Fundamentals of Electronics, Communications and Computer Sciences, 2009.02.01, VOL.E92-A, NO.2, p.508-516	1-4